• 基础研究 •

LINC01518对IL-17诱导非小细胞肺癌细胞增殖的影响

阮玉婷¹,李 稚¹,葛 文¹,吴宁霞¹,应 帅¹,王伟民¹,李 玉¹,张 婧¹,邱 文¹,王迎伟¹*,赵晨卉²* ¹南京医科大学免疫学系,江苏 南京 211166;²南京医科大学第一附属医院肿瘤科,江苏 南京 210029

[摘 要] 目的:探讨长链非编码 RNA01518(long intergenic non-protein coding RNA 01518, LINC01518)基因过表达或沉默对白介素(interleukin, IL)-17诱导非小细胞肺癌(non-small cell lung cancer, NSCLC)细胞增殖的影响。方法:Western blot 检测NSCLC 细胞系(PC9、H1299 和 H1975)IL-17 受体 A(IL-17 receptor A, IL-17RA)的表达后,用 IL-17 刺激 H1299 和 PC9 细胞不同时间,利用 CCK-8 实验测定细胞的增殖水平。LncRNA 芯片筛查 IL-17刺激 H1299 和 PC9 细胞 3 h后 LncRNA 上调的结果,从中选取某些上调的 LncRNA 进行 RT-PCR 和 Real-time PCR 验证。此外,将构建的 pcDNA3.1/LINC01518或 shLINC01518 质粒转染 H1299 细胞,用 CCK-8、EdU 和克隆形成实验检查细胞的增殖情况。结果:3 种 NSCLC 细胞系均有 IL-17RA的表达。实验发现,IL-17刺激 H1299 和 PC9 细胞后能提高其增殖水平,同时受刺激的细胞内 LINC01518的上调最为显著,且过表达 LINC01518可提高 H1299 细胞的增殖水平,而沉默 LINC01518 基因则能抑制 IL-17诱导的细胞增殖。结论: LINC01518能促进 IL-17诱导的H1299 细胞增殖。

[关键词] NSCLC; IL-17; LINC01518; 细胞增殖

[中图分类号] R734.2

[文献标志码] A

「文章编号 1007-4368(2023)03-304-07

doi:10.7655/NYDXBNS20230302

Effects of LINC01518 on the proliferation of non-small cell lung cancer cells stimulated with IL-17

RUAN Yuting¹, LI Ya¹, GE Wen¹, WU Ningxia¹, YING Shuai¹, WANG Weimin¹, LI Yu¹, ZHANG Jing¹, QIU Wen¹, WANG Yingwei^{1*}, ZHAO Chenhui^{2*}

¹Department of Immunology, Nanjing Medical University, Nanjing 211166; ²Department of Oncology, the First Affiliated Hospital of Nanjing Medical University, Nanjing 210029, China

[Abstract] Objective: This study aims to explore the effect of overexpressing or silencing long intergenic non-protein coding RNA 01518 (LINC01518) on the cell proliferation induced by IL-17 in non-small cell lung cancer (NSCLC). Methods: The IL-17 receptor A (IL-17RA) expression in NSCLC cell lines (PC9, H1299 and H1975) was first examined using Western blot. Then H1299 and PC9 cells were exposed to IL-17 for different time, and the cell proliferation was detected by CCK-8 assay. Based on the results of up-regulated lncRNAs detected by lncRNA microarray in IL-17-stimulated H1299 and PC9 cells, several lncRNAs were selected and verified by RT-PCR and Real-time PCR. Additionally, the constructed plasmids of pcDNA3.1/LINC01518 or shLINC01518 were transfected into H1299 cells, and H1299 cell proliferation were examined by CCK-8, EdU and colony formation assays. Results: IL-17RA could express in 3 kinds of NSCLC cell lines. The cell proliferation and LINC01518 were obviously up-regulated in H1299 and PC9 cells treated by IL-17. Besides, LINC01518 overexpression could markedly promote the cell proliferation, while LINC01518 gene knockdown followed by IL-17 treatment did not enhance cell proliferation. Conclusion: LINC01518 can promote H1299 cell proliferation induced by IL-17 stimulation.

[Key words] NSCLC; IL-17; LINC01518; cell proliferation

[J Nanjing Med Univ, 2023, 43(03): 304-310]

非小细胞肺癌(non-small cell lung cancer, NSCLC)是发病率较高的恶性肿瘤[1]。研究表明, NSCLC 的致病因素除了遗传、环境和吸烟外,还与患 者肺部的慢性炎症及促炎因子增多密切相关[2-3]。白 介素(interleukin, IL)-17是一种促炎细胞因子,在 多种癌组织内显著表达,能促进癌细胞的异常增 殖[4-6]。本课题组过去已证实,NSCLC患者的癌组 织中, IL-17及IL-17受体A(IL-17 receptor A, IL-17RA)均明显表达,且用IL-17刺激NSCLC细胞,上 调的 HMGA1 (high mobility group protein A1) 还能通 过增强 cyclin D1 引起细胞的增殖反应^[6]。

当细胞受到刺激后,除了信号分子、转录因子 明显激活或表达外,还能测到某些长链非编码RNA (long non-coding RNA, LncRNA)的表达上调与下 调^[7-18]。LncRNA是长度≥200个核苷酸且多无编码 蛋白功能的RNA,能对基因的表达进行调控[7-18]。 文献报道, LncRNA在NSCLC癌组织内表达可影响 癌细胞的侵袭、转移及增殖等多个过程[9-10]。

长链非编码 RNA 01518(long intergenic non-protein coding RNA 01518, LINC01518) 是一种基因间 的LncRNA,能参与不同疾病的发生与发展。例如: 在食管癌组织中,LINC01518的表达上调能竞争结 合 miR-1-3p,诱导细胞的过量增殖[11-12]。此外,在青 光眼患者肌腱囊成纤维细胞中,LINC01518也可海绵 化 miR-216b-5p来增强转化生长因子(transforming growth factor, TGF)-β1诱导的增殖反应^[13]。

本课题前期研究已发现,用IL-17刺激NSCLC细 胞(H1299和PC9)3 h,LINC01518的表达水平已明显 提高,然而IL-17是否通过LINC01518引起NSCLC细 胞增殖,目前尚不知晓,故本研究进行了探讨。

1 材料和方法

1.1 材料

人正常支气管上皮细胞系 BEAS-2B 和 NSCLC 细胞系PC9、H1299和H1975(武汉中国典型培养物 保藏中心)。胎牛血清(南京维森特公司),IL-17RA 抗体(武汉 ABclonal 公司), Lipofectamine 2000(赛默 飞公司,美国),人IL-17(R&D Systems公司,美国); CCK-8试剂盒(南京诺唯赞公司),EdU试剂盒(广州 锐博公司);pcDNA3.1/LINC01518(合肥通用公司), shLINC01518(上海吉玛公司); ABI Simpli Amp PCR 热循环仪和 ABI Step One Plus 定量 PCR 仪(赛默 飞公司,美国),倒置显微镜IX73(奥林巴斯公司, 日本)。

1.2 方法

1.2.1 细胞系的培养与传代

将 PC9、H1299、H1975 和 BEAS-2B 接种于含 10%胎牛血清的 DMEM 完全培养液中,于 37 ℃、5% CO2培养48 h。当细胞融合度达90%时按1:5比例 讲行传代。

1.2.2 Western blot

将细胞裂解物离心3 min,取20 μL蛋白行SDS-PAGE 电泳。先45 V 恒压浓缩再120 V 电泳 2 h, 0.3A 恒流湿转 120 min。PVDF 膜用脱脂牛奶封闭 2 h 后加相应一抗4℃孵育过夜,漂洗后用HRP标记 的二抗孵育1h。最后行ECL化学发光试剂检测。

1.2.3 RT-PCR

用IL-17分别刺激PC9和H1299细胞,TRIzol提 取细胞的总RNA,逆转录为cDNA(留作模板)。同 时查阅相关文献[7-18],并从前期芯片结果(即上调2倍 以上的LncRNA 459个)中挑选出上调较高且已报 告有促增殖效应的10个LncRNA进行RT-PCR检查 验证。检测前 Premier 5 软件设计的引物由合肥通 用生物科技有限公司合成,序列见表1。

RT-PCR 反应总体系为 25 μL,含 cDNA 模板 1 μL, Taq Master Mix 12.5 μL, 上下游引物各1 μL, 灭菌双蒸水补足至总体积。用ABI Simpli Amp PCR 热循环仪进行PCR反应,程序为:95 ℃ 15 min 变性, 55 ℃ 30 s 退火,72 ℃ 30 s 延伸;共35 个循环。

1.2.4 Real-time PCR

同上设计合成 LINC01518、LINC00265 和 PSMA3-AS1引物(序列见表1)。Real-time PCR反应 体系为20 μL,含cDNA模板1 μL,SYBR Green Master Mix 10 μL, 上下游引物各 0.4 μL, 双蒸水补足总体 积。用ABI Step One Plus 定量 PCR 仪进行扩增反 应,程序为:预变性,95 ℃ 5 min;循环反应,95 ℃ 10 s, 60 ℃ 30 s,共40个循环;熔解曲线,95 ℃ 15 s、60 ℃ 60 s、95 ℃ 15 s。数据以β-actin作为内参,2^{-ΔΔCT}法计 算相对表达量,Graphpad Prism 5进行半定量分析。

1.2.5 质粒的构建与鉴定

过表达的 pcDNA3.1/LINC01518 和小干扰的 shLINC01518 质粒(含 shLINC01518-1~3)分别由合 肥通用生物和上海吉玛制药技术有限公司构建。 shLINC01518-1:5'-CCCGTACCTAGTTCTTAAA-3'; shLINC01518 - 2 : 5' - ATGCCAACTTATCTGGCTA -AT-3'; shLINC01518-3:5'-TGGCCTAGATCATTAA-CATAT-3'。测序鉴定证实,上述质粒均构建成功。

将 pcDNA3.1/LINC01518 用 Lipofectamine2000

基因名称	上游序列(5'→3')	下游序列(5'→3')
LINC01518	CAGTGACGGAACAGTACCAG	TCACAAACATCCCGCTCT
LINC00265	AGCACCAGGGCGGAAGGAAG	CCAAGCGGGAAGGAGACTAGGAG
PSMA3-AS1	TGCACAACCACATGAGGAAGAAGG	TGAGTCCATGCCAGTTGCCTTTAG
LINC01347	TCAGGAAGGCTTTCTACTAATG	CACTTCGCAAGAACCACAA
DLGAP1-AS1	GAGCCCCTCGTGTTTGATG	AAAAGGGCAGTGTCACAGGTG
OIP5-AS1	TGCGAAGATGGCGGAGTAAG	TAGTTCCTCTCCTCTGGCCG
SNHG17	GTTCCTGGGGCTTGGATGAT	GATCTAAGGCTGAGACCCACG
NUTM2A-AS1	CAGGCAACGTGTTGGACCTTCC	CTGAGGCAGGCGGATCATTTCG
LINC01194	ACCTCGGGATGACTATGGC	TTGCGGTGAAAGTGGCTC
BBOX1-AS1	CCGCTGACAGGTCTAGGAGTACAC	GGAGTCTGACTGCTCTTCAAAGGG
GAPDH	CAAGGTCATCCATGACAACTTTG	GTCCACCACCCTGTTGCTGTAG

表 1 PCR 引物 Table 1 Primers for PCR

转染 H1299 细胞 48 h, 在明确转染效率可达 70%以上后进行实验分组:①pcDNA3.1 组;②pcDNA3.1/LINC01518组。此外,采用同前方法将 shLINC01518质粒转染细胞后 48 h(效率可达 80%)再用 IL-17刺激 3 h。实验分组:①shCTR+IL-17组;②shLINC01518-1+IL-17组;③shLINC01518-2+IL-17组;④shLINC01518-3+IL-17组。提取前述不同处理细胞的总 RNA,行 Real-time PCR 检查。

1.2.6 CCK-8实验

IL-17 刺激 H1299 和 PC9 细胞。实验分组:① DMEM组:两种细胞仅用无血清 DMEM培养;②IL-17 刺激组:取 50 ng/mL的 IL-17(课题组以往研究确定该浓度为最佳刺激剂量)^[6],每孔加150 μL,在刺激后不同时间加 CCK-8溶液处理。

过表达 LINC01518。实验分组: ①pcDNA3.1 组; ②pcDNA3.1/ LINC01518 组,将 pcDNA3.1 或pcDNA3.1/LINC01518 转染 H1299 细胞 48 h。处理后加 CCK-8 溶液。

沉默LINC01518后再加IL-17刺激。实验分组: ① shCTR 组,仅转染 shCTR 48 h;② shCTR+IL-17组,将 shCTR 转梁 H1299 细胞 48 h 再行 IL-17刺激 48 h;③ shLINC01518+IL-17组,将 shLINC01518转染 H1299 细胞 48 h 再行 IL-17刺激 48 h。最后每孔加 10 μL CCK-8溶液,37℃孵育 40 min,用酶标仪测定 450 nm 处的吸光度值,以吸光度值表示细胞的增殖水平。

1.2.7 EdU 实验

过表达或沉默 LINC01518 的分组处理同 1.2.6。每孔细胞先加 $100~\mu L$ $50~\mu mol/L$ EdU溶液孵育2~h,再用4%多聚甲醛孵育30~min,接着加2~mg/mL

甘氨酸 5 min,用 0.5% Triton X-100 PBS 脱色 10 min,加 Appllo 染色液避光孵育 30 min 后用 Hoechst 染色液避光孵育 30 min。在荧光镜下观察拍摄 5 个随机选择的视野。

1.2.8 克隆形成实验

过表达或沉默 LINC01518 分组同 1.2.6 所述。 当细胞培养 8 d出现肉眼可见的克隆时终止培养。 先弃去培养液,再用 PBS 浸洗,接着加甲醇固定 20 min 后弃去,再加结晶紫染液染 20 min,洗去染色液,干燥后用肉眼直接计数细胞克隆的形成数量。

1.3 统计学方法

采用 SPSS 22.0 软件进行统计学分析,使用 GraphPad Prism 8 软件进行绘图。所有实验均独立 重复 3次,所得定量数据以均数±标准差($\bar{x} \pm s$)进行统计描述。Student's t 检验用于比较两组间差异;多组间差异比较采用单因素方差分析,两两比较采用 SNK 检验,明确对照组的比较采用 Dunnett-t 检验,P < 0.05 为差异有统计学意义。

2 结 果

2.1 3种NSCLC细胞系均有IL-17RA的明显表达

Western blot 检测 NSCLC 细胞表面的 IL-17RA, 结果显示,这些细胞均有 IL-17RA 的表达,H1299 和 PC9 细胞表达较多(图 1A、B)。

2.2 IL-17刺激 H1299和 PC9细胞不同时间可引起细胞的增殖

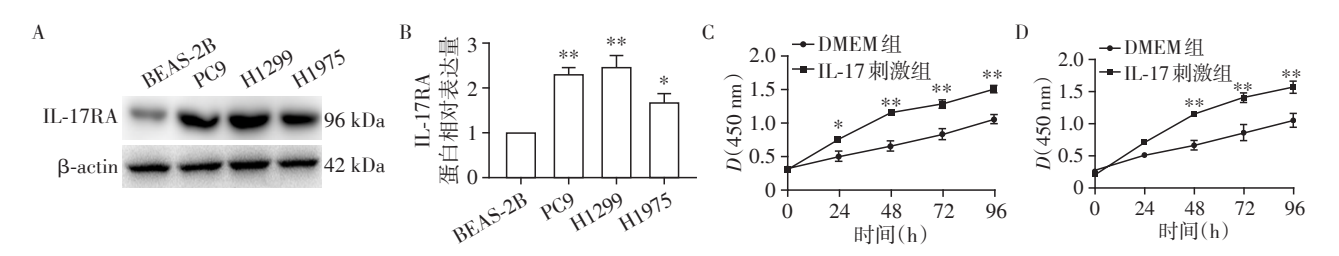
在证实了H1299和PC9细胞可表达IL-17RA后,为了确定IL-17刺激能诱导细胞增殖,用IL-17(50 ng/mL)刺激细胞,在刺激0、24、48、72、96 h时行CCK-8实验检测细胞增殖水平,发现IL-17刺激后

24 h,两种细胞的增殖水平均已升高,48 h以后均较显著(图1C、D)。

2.3 IL-17 刺激 H1299 和 PC9 细胞后能显著升高 LINC01518 的表达水平

为了验证IL-17刺激H1299和PC9细胞后上调的LncRNA,从前期LncRNA芯片上调2倍以上的459个LncRNA中,选取了10个文献已报道有促增

殖效应的LncRNA^[7-18],先行RT-PCR验证。结果显示,IL-17 刺激两细胞后不同时间,LINC01518、LINC00265 和 PSMA3 - AS1 表达升高明显(图 2A~D)。Real-time PCR进一步检查前述3个升高的LncRNA发现,IL-17 刺激2h和3h时,LINC01518、LINC00265 及 PSMA3 - AS1 均显著上升,其中LINC01518升高得更为明显,且以H1299细胞较为显



A、B: Western blot 显示,BEAS-2B、PC9、H1299和H1975细胞系均有IL-17RA的表达,H1299和PC9细胞表达较多。A:电泳条带;B:蛋白表达的半定量分析(与BEAS-2B比较,"P < 0.05,"P < 0.01)。C、D:IL-17刺激H1299(C)和PC9(D)细胞不同时间,CCK-8结果显示,IL-17刺激后24h,两种细胞的增殖均增强(与DMEM组比较,"P < 0.05,""P < 0.01,n=3)。

图1 NSCLC细胞系IL-17RA表达和IL-17刺激H1299和PC9细胞不同时间后细胞增殖水平的变化

Figure 1 The expression of IL-17RA in NSCLC cell lines and the changes of H1299 and PC9 cell proliferation stimulated with IL-17 for different times

著(图2E、F),故此后选择H1299细胞继续开展实验。 2.4 LINC01518过表达和小干扰质粒的鉴定、表达 及干扰效率的验证

为了探讨 LINC01518 在 IL-17 诱导 H1299 细胞增殖中的作用,先构建了 LINC01518 过表达和小干扰质粒。测序鉴定成功后(图 3A、B),将 pcDNA3.1/LINC01518 质粒转染 H1299 细胞 48 h,行 Real-time PCR 检测,结果显示转染 pcDNA3.1/LINC01518 的细胞中,LINC01518 的表达显著增加(图 3C)。此外,转染 shLINC01518-1~3 小干扰质粒 48 h 再行 IL-17 刺激 3 h 发现,shLINC01518-1 能显著抑制 IL-17 上调的 LINC01518的表达(图 3D),提示 shLINC01518-1 沉默效率最佳,故选取 shLINC01518-1 进行后续实验,并统一命名为 shLINC01518。

2.5 LINC01518 基因表达能促进 IL-17 诱导的 H1299 细胞增殖

为了进一步检查 LINC01518 对 H1299 细胞增殖的影响,在细胞转染 pcDNA3.1/LINC01518 质粒和 shLINC01518 质粒后进行了相应的实验。 CCK-8 实验表明,pcDNA3.1/LINC01518 转染组,48 h时细胞增殖水平明显升高,而沉默 LINC01518 基因后由 IL-17 诱导的细胞增殖未见增加(图 4A)。同时,EdU 实验显示,pcDNA3.1/LINC01518 转染 48 h时,进入增殖期的细胞数明显增多,而沉默 shLINC01518 基

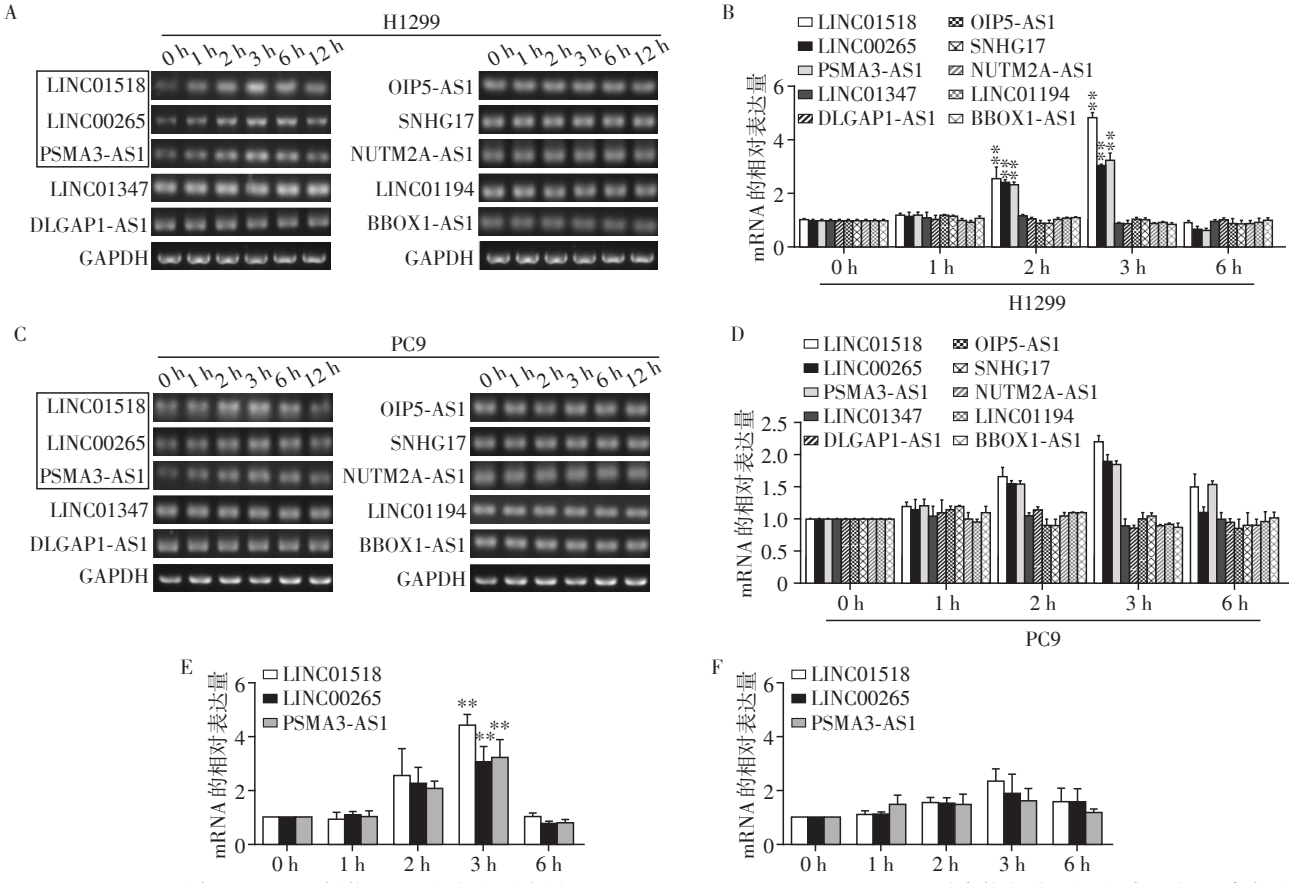
因后,由IL-17诱导进入增殖期的细胞数未见明显升高(图4B、C)。此外,细胞克隆形成实验发现,过表达LINC01518基因8d时,细胞克隆数明显增加,而沉默LINC01518基因后8d,由IL-17诱导的细胞克隆形成数则未见增多(图4D、E)。上述结果表明,IL-17刺激H1299细胞后可通过上调LINC01518的表达促进H1299细胞的增殖。

3 讨论

本课题组以往研究表明,NSCLC癌组织中IL-17 表达明显升高,且用IL-17 刺激 NSCLC细胞后能诱导其增殖,相应机制涉及 HMGA1上调可致 cyclin D1基因的转录与表达^[6]。不过,由于 NSCLC细胞增殖的机制较为复杂,故深入研究癌细胞异常增殖的原因及其分子调控机制十分必要。

已知细胞因子刺激细胞发挥效应的前提是其细胞表面含有相应的受体^[6],故本研究一开始就检测了NSCLC细胞系IL-17RA的表达水平。在证实了PC9、H1299和H1975细胞系IL-17RA的表达均高于正常支气管上皮细胞BEAS-2B后,又选择了IL-17RA表达较高的PC9和H1299细胞,用定量IL-17刺激不同时间行CCK-8实验,确证两种细胞受IL-17刺激24h时,增殖水平已明显升高,48h以后更加显著。

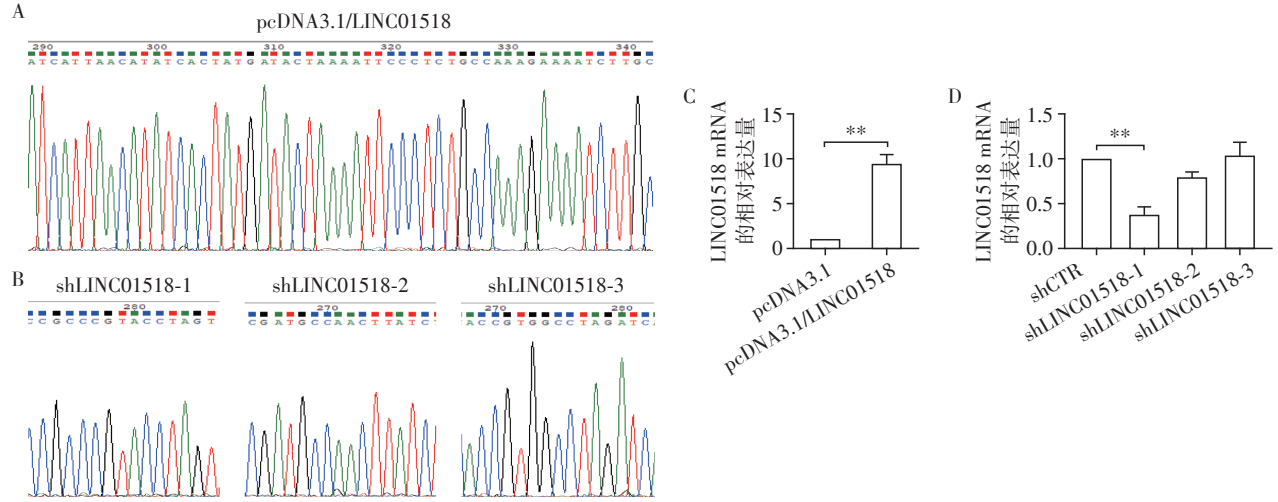
为了探讨IL-17刺激NSCLC细胞诱导其增殖



A、B:RT-PCR测定显示,IL-17刺激 H1299 细胞后不同时间,LINC01518、LINC00265 和 PSMA3-AS1 升高较为明显(A:电泳照片,B:半定量分析图,n=3)。C、D:RT-PCR测定显示,IL-17刺激 PC9 细胞后不同时间,LINC01518、LINC00265 和 PSMA3-AS1 升高较为明显(C:电泳照片,D:半定量分析图,n=3)。E、F:Real-time PCR 进一步检测上升明显的 LncRNA 发现,IL-17 刺激 H1299 细胞(E) 和 PC9 细胞(F)后,LINC01518、LINC00265 和 PSMA3-AS1 的表达在 IL-17 刺激后 2 h 和 3 h 时均有升高,但以 H1299 细胞较为显著(与 0 h 比较, *P < 0.05, *P < 0.01, *n =3)。

图2 IL-17刺激H1299和PC9细胞后不同时间LncRNA芯片上调明显的10个LncRNA的表达验证

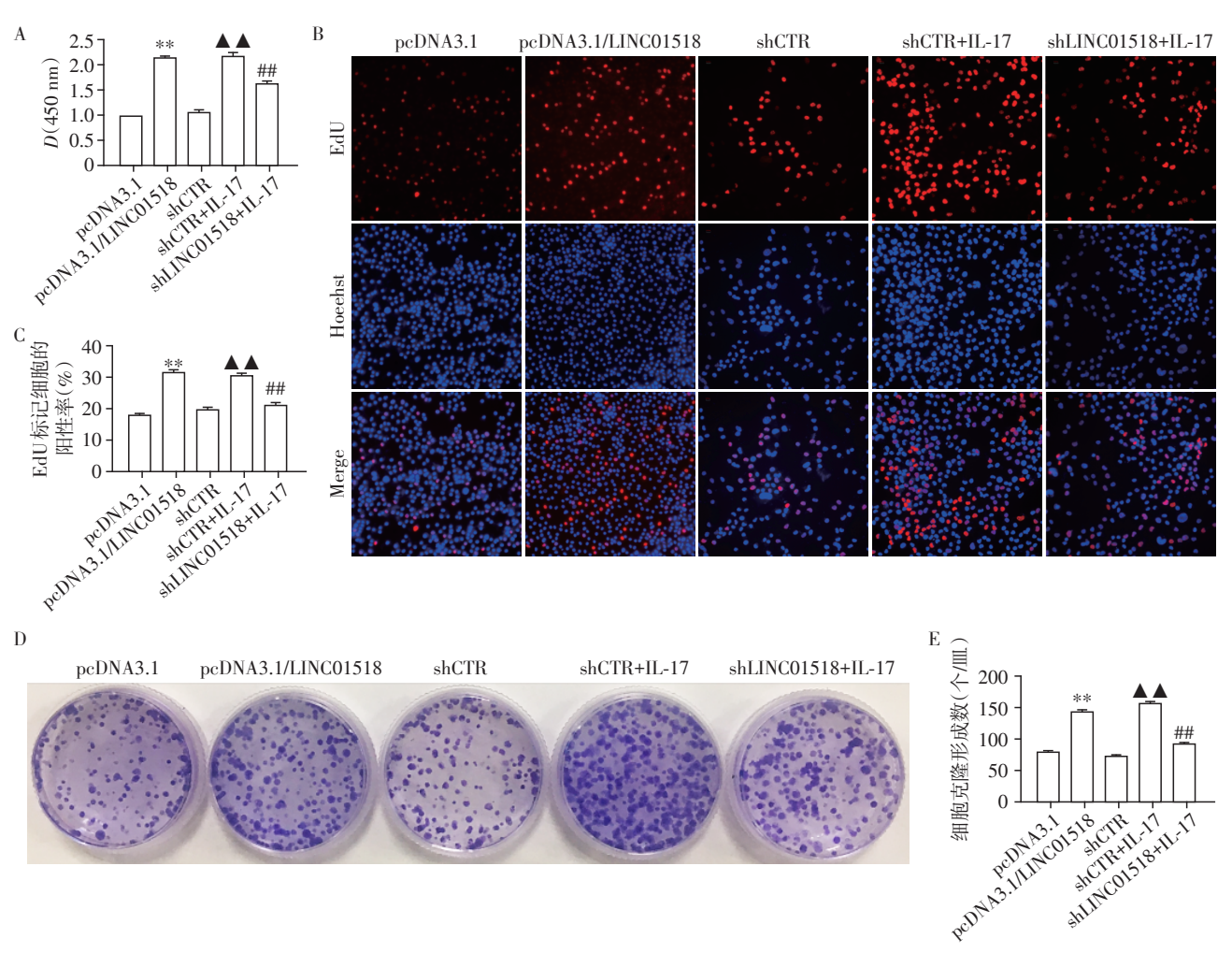
Figure 2 The expression validation of 10 up-regulated lncRNAs from the microarray in IL-17-stimulated H1299 and PC9 cells at different times



A:LINC01518 过表达质粒测序图谱(部分);B:shLINC01518 质粒测序图谱(部分);C:H1299 细胞转染过表达质粒后 48 h,其LINC01518 的 表达明显增加(两组比较,"P < 0.01, n=3);D:H1299 细胞中转染 shLINC01518-1~3 质粒 48 h 再行 IL-17 刺激 3 h 发现,shLINC01518-1 抑制 IL-17 上调LINC01518 的效果最佳(两组比较,"P < 0.01, n=3)。

图 3 LINC01518 过表达质粒的表达验证和 shLINC01518 质粒沉默效率的检测

Figure 3 The determination of pcDNA3.1/LINC01518 expression and screening of most effective shRNA for silencing LINC01518



A:CCK-8实验显示,过表达LINC01518后48h,细胞增殖水平明显升高,而沉默LINC01518后由IL-17诱导的细胞增殖未见显著升高。B、C:EdU测定发现,过表达LINC01518后48h,进入增殖期的细胞数明显增多,而沉默LINC01518后由IL-17诱导进入增殖期的细胞数增加并不显著[B:镜下照片(×200);C:各组EdU阳性细胞百分比统计图]。D、E:克隆形成实验表明,过表达LINC01518后8d,细胞克隆数显著增加,而沉默shLINC01518后8d,由IL-17刺激诱导形成的细胞克隆数并未明显增多(D:实验代表照片;E:各组细胞克隆数定量分析图)。与pcDNA3.1比较,"P<0.01;与shCTR比较, ^{AA}P <0.01;与shCTR+IL-17比较,"P<0.01。

图 4 过表达和沉默 LINC01518 基因对 H1299 细胞增殖的影响

Figure 4 The effects of overexpressing and silencing LINC01518 gene on the proliferation of H1299 cells

的可能机制,本课题组前期已用 LncRNA 芯片筛查了 IL-17刺激 3 h后 H1299 和 PC9 细胞差异表达的 LncRNA。结果发现,上调≥2倍的 LncRNA 共有459个。查阅相关文献「7-18」,并结合芯片中上调较高(≥3倍)的 LncRNA,从中选取了10条与细胞增殖有关的 LncRNA,先用RT-PCR测定IL-17刺激 3 h时两种细胞 mRNA 的水平,在筛出了 LINC01518、LINC00265和 PSMA3-AS1升高显著后,又用 Real-time PCR 进一步确定前述3个表达水平升高的 LncRNA,LINC01518的上调倍数既明显又相对稳定。

LINC01518位于人染色体10q11.21,其细胞定位和功能研究发现,细胞核中的LncRNA多与染色质修饰、转录调节等过程相关,而细胞质中的LncRNA

则可作为竞争性内源 RNA (competing endogenous RNA, ceRNA)结合相应的 miRNA, 进而在转录后能间接调控靶基因^[8-10,12-13,15-18]。研究发现, LINC01518在食管癌细胞中的过量表达能通过 ceRNA 结合miR-1-3p促进细胞增殖^[11-12]。然而LINC01518是否参与IL-17诱导的NSCLC细胞增殖, 目前尚无文献报道。

本研究构建了 LINC01518 过表达(pcDNA3.1/LINC01518)和 shLINC01518 小干扰质粒。在验证上述质粒构建成功后,分别将这些质粒转染 H1299 细胞(转染 shLINC01518 质粒的细胞再行 IL-17 刺激)。结果显示,过表达 LINC01518 能显著提高细胞的增殖水平,而敲低 LINC01518 基因后由 IL-17 诱导的细胞增殖未见明显增加。这一结果提示,

LINC01518的表达可正向提升IL-17诱导H1299细胞增殖的能力。

LncRNA 调控细胞生物学行为的机制之一是其能吸附 miRNA 影响靶基因的表达,故其在肿瘤等疾病的发生与发展中发挥了重要作用^[8-10,12-13,15-18]。由于 LINC01518 可竞争结合某些 miRNA 来影响细胞的某些病变^[12-13],故设想在 NSCLC 发病和进展过程中, LINC01518 的表达上调或许也能通过结合相应的 miRNA 促进 IL-17 诱导的肿瘤细胞增殖反应。不过,这一推测还有待后续进一步对 LINC01518 的细胞定位和功能研究等加以验证。

[参考文献]

- [1] HERBST R S, MORGENSZTERN D, BOSHOFF C. The biology and management of non small cell lung cancer [J]. Nature, 2018, 553 (7689): 446-454
- [2] RICE S J, LIU X, ZHANG J H, et al. Advanced NSCLC patients with high IL-6 levels have altered peripheral T cell population and signaling [J]. Lung Cancer Amsterdam Neth, 2019, 131:58-61
- [3] KWIECIEN I, STELMASZCZYK-EMMEL A, POLUBIEC-KOWNACKA M, et al. Elevated regulatory T cells, surface and intracellular CTLA-4 expression and interleukin-17 in the lung cancer microenvironment in humans [J]. Cancer Immunol Immunother, 2017, 66(2):161-170
- [4] WANG B, ZHAO C H, SUN G, et al. IL-17 induces the proliferation and migration of glioma cells through the activation of PI3K/Akt1/NF-κB-p65[J]. Cancer Lett, 2019, 447:93-104
- [5] XIANG T, LONG H, HE L, et al. Interleukin-17 produced by tumor microenvironment promotes self - renewal of CD133⁺ cancer stem-like cells in ovarian cancer[J]. Oncogene, 2015, 34(2):165-176
- [6] ZHAO C, LI Y, ZHANG W, et al. IL17 induces NSCLC A549 cell proliferation via the upregulation of HMGA1, resulting in an increased cyclin D1 expression [J]. Int J Oncol, 2018, 52(5):1579-1592
- [7] GE B H, ZHANG X, ZHOU W, et al. LINC00265 promotes metastasis and progression of hepatocellular carcinoma by interacting with E2F1 at the promoter of CDK2[J]. Cell J, 2022,24(6):294-301
- [8] ZHENG G L, LIU Y L, YAN Z X, et al. Elevated LOXL2 expression by LINC01347/miR-328-5p axis contributes to 5 - FU chemotherapy resistance of colorectal cancer [J].

- Am J Cancer Res, 2021, 11(4):1572-1585
- [9] CHENG G, LI Y, LIU Z, et al. LncRNA PSMA3-AS1 promotes the progression of non-small cell lung cancer through targeting miR-17-5p/PD-L1 [J]. Adv Clin Exp Med, 2021, 30(10):1043-1050
- [10] XING Z, ZHANG Z, GAO Y, et al. The lncRNA LINC01194/miR - 486 - 5p axis facilitates malignancy in non-small cell lung cancer via regulating CDK4[J]. Onco Targets Ther, 2020, 13:3151-3163
- [11] WANG W W, WEI C G, LI P, et al. Integrative analysis of mRNA and lncRNA profiles identified pathogenetic lncRNAs in esophageal squamous cell carcinoma [J]. Gene, 2018, 661:169–175
- [12] ZHANG DH, ZHANG HF, WANG XL, et al. LINC01518 knockdown inhibits tumorigenicity by suppression of PIK3CA/Akt pathway in oesophageal squamous cell carcinoma[J]. Artif Cells Nanomed Biotechnol, 2019, 47(1): 4284–4292
- [13] KONG N, BAO Y, ZHAO H, et al. Long noncoding RNA LINC01518 modulates proliferation and migration in TGFβ1-treated human tenon capsule fibroblast cells through the regulation of hsa-miR-216b-5p[J]. Neuromolecular Med, 2022, 24(2);88-96
- [14] YOJIRO K, NATSUMI M, TAKAHIRO W, et al. OIP₅-AS1 promotes proliferation of non-small-cell lung cancer and head and neck squamous cell carcinoma cells [J]. Cancer Genom Proteom, 2021, 18(4):543-548
- [15] PENG X, WEI F, HU X. Long noncoding RNA DLGAP1-AS1 promotes cell proliferation in hepatocellular carcinoma via sequestering miR-486-5p [J]. J Cell Biochem, 2020,121(2):1953-1962
- [16] CHEN W H, WANG L F, LI X Y, et al. LncRNA SNHG17 regulates cell proliferation and invasion by targeting miR-338-3p/SOX4 axis in esophageal squamous cell carcinoma [J]. Cell Death Dis, 2021, 12(9):806
- [17] WANG J, YU Z Y, WANG J, et al. LncRNA NUTM2A-AS1 positively modulates TET1 and HIF-1A to enhance gastric cancer tumorigenesis and drug resistance by sponging miR-376a[J]. Cancer Med, 2020, 9(24):9499-9510
- [18] YANG Y, YU Q, LI B, et al. BBOX1-AS1 accelerates gastric cancer proliferation by sponging miR-3940-3p to upregulate BIRC5 expression[J]. Dig Dis Sci, 2021, 66(4): 1054-1062

[收稿日期] 2022-07-29 (本文编辑:陈汐敏)